

弾塑性ならびにリブの補剛を考慮した薄肉円筒シェルの1次元解法

大阪工業大学 正員 岡村宏一

1. まえがき：面圧を受けた部分円筒シェルは、実際構造においてリブで補剛される場合が多い。したがってリブ間のパネルは変形を抑制され浅いシェルの形になる。さて筆者はすでに、リブ付き平板の弾塑性問題を扱うための1つの解法を発表し、曲げや座屈の問題について多くの解析を行った。一方、筆者は薄肉円筒シェルと平板の弾塑性解析に併用できる1つの解法を発表し、若干の応用例を示した。これらはいずれも解析解の応用範囲を領域変換法により拡張したものであるが、本文ではこれらを統括する意味でリブ付きシェルの1つの弾塑性解法を提す。

2. 基礎式：図-1は、至るに座標軸に沿って直立するリブと合成される厚さのシェルの微小要素と、力の受け渡しの様子を示す。

ここで、 x, s, z 方向の変位成分を u, v, w とし、内長 (x, s, z) における全ひずみを次のようとする。 $\left[\frac{\partial}{\partial x} (\cdot) = (\cdot)' \quad \frac{\partial}{\partial s} (\cdot) = (\cdot)'' \right]$

$$\begin{aligned} \varepsilon_x &= u' - z w'' + \frac{1}{2}(w')^2 \\ \varepsilon_s &= v' + \frac{w}{r+z} - \frac{rz}{r+z} w'' + \frac{1}{2}(w')^2 \\ \gamma_{xs} &= \frac{r}{r+z} u' + \frac{r+z}{r} v' - (z + \frac{rz}{r+z}) w'' + w' w \end{aligned} \quad \left. \right\} (1)$$

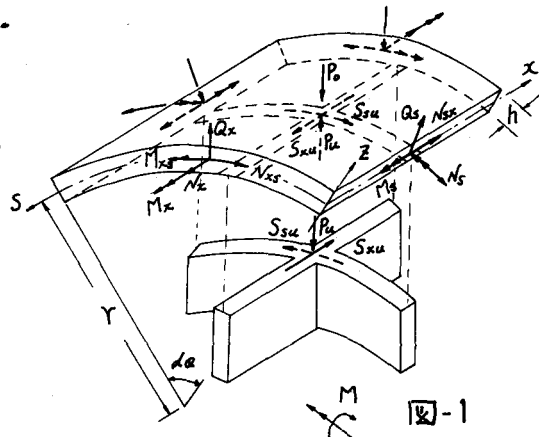


図-1

釣合式条件式は本文の場合； $N'_x + N'_{sx} = S_{su}, \quad N'_s + N'_{zs} - \frac{Q_s}{r} = S_{su},$

$$\left. \begin{aligned} Q'_x + Q'_s + \frac{N_b}{r} &= -P_o + P_u + N_x w'' + N_s w'' + (N_{xs} + N_{sx}) w', \\ M'_x + M'_{sx} &= Q_x, \quad M'_s + M'_{zs} = Q_s, \quad r(N_{sx} - N_{xs}) = M_{sx} \end{aligned} \right\} \cdots \cdots \cdots (2)$$

以下、説明の要項は次の通りである。1) 断面力ヒヂム、変形の実体には弾性線形問題における Flügge の表示と同様に有限変形、弾塑性変形を考慮して与える。2) 釣合式(2)のすべてを満足させよ。3) 塑性ひずみは flow rule によつて与えよ。4) 適合条件式は中央面 ($z=0$) を要する。式の形は Kármán 流のものである。5) 応力関数中を導入し、基礎式(釣合式、適合条件式)の左边の形を平板理論によるものと同一にする。すなはちシェル理論との差異による物理量を右边に移項する。

以上の諸項を考慮して次の2つの基礎式を得られる。

$$\Delta \Delta W = \frac{1}{K} (P_o - P_u) + \sum_{k=1}^b U_k + R_s \quad \cdots \cdots (3) \quad \Delta \Delta \phi = T_s + \sum_{k=1}^5 V_k \quad \cdots \cdots (4)$$

$$\text{ここで } K; \text{ 曲げ剛度} = \frac{E h^3}{12(1-\nu^2)}, \quad U_1 = -\frac{1}{rK} \phi'', \quad V_1 = \frac{E h}{r} w''$$

U_1, V_1 は線形弾性の場合のシェルの近似解を与える物理量で、弾塑性ひずみ分布は Donnell の近似假定を用いたものに相当する。さらに $U_2 \sim U_b, V_2 \sim V_5$ の諸項は有限変形、なら

びに塑性変形の影響を考慮しつつ解の精度を向上させるもので、その詳細は文献1に記載してあるのを「ニンニク」は記述を省略する。また T_S , R_S はリフの結合の影響を与える項で、後者は有限変形を生じた場合のみ考慮される。

$$T_S = \frac{1}{h} \left\{ \nu (S_{xu}' + S_{su}') - (\int S_{xu} dx)' - (\int S_{su} dy)'' \right\}, \quad R_S = (\int S_{xu} dx) w'' + (\int S_{su} dy) w''$$

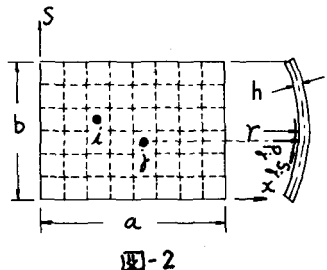
断面力は次のようにならう。

$$\begin{aligned} N_x &= \phi'' + \int S_{xu} dx, \quad N_s = \phi'' + \int S_{su} dy + \frac{K}{r} \left\{ (w'' + \frac{w}{r^2}) + (2-\nu) w'' \right\} + \frac{4K}{rh} \left\{ \mu (\chi_s + (2-\nu) \chi_x) \right\}_L \\ N_{sx} &= -\phi'', \quad N_{xs} = -\phi'' - \frac{K}{r} (1-\nu) w'' - \frac{2K}{rh} (1-\nu) \sum_L (\mu \chi_{xs})_L, \quad M_x = K \left\{ w'' + \nu (w'' + \frac{w}{r^2}) - \frac{N_x}{rC} \right\} \\ &+ \frac{4K}{rh} \sum_L \left\{ \mu (\chi_x + \nu \chi_s) \right\}_L, \quad M_s = K \left\{ w'' + \frac{w}{r^2} + \nu w'' \right\} + \frac{4K}{rh} \sum_L \left\{ \mu (\chi_s - \nu \chi_x) \right\}_L, \quad M_{sx} = M_{xs} = K (1-\nu) w'' \\ &+ \frac{2K}{rh} (1-\nu) \sum_L (\mu \chi_{xs})_L, \quad \chi_x = \frac{\partial f}{\partial m_x}, \quad \chi_s = \frac{\partial f}{\partial n_x}, \quad \chi_{xs} = \frac{\partial f}{\partial m_{xs}}, \quad M_{\text{NP}} = \frac{M_{\text{NP}}}{M_p}, \quad M_p = \frac{E_p}{4} h^2 \\ C &= \frac{Eh}{1-\nu^2}, \quad f; \text{塑性ボテンシャル}, \quad \mu; \text{塑性ひずみの係数}, \quad L; \text{荷重段階} \end{aligned} \quad (5)$$

3. 解法；式(3), (4)を解く場合、物理量 U_B , V_B , R_S , T_S などは図-2に見るように分割された有限領域 (i , j など) における一定値(等分布)として扱い、各領域の重心(選点)の値を用いる。 $\xi = 2$, 式(3), (4)に含まれる物理量を次のように展開する。

$$(w, \phi, p, U, V) = \sum_m \sum_n \psi_{mn} \sin \frac{m\pi}{a} x \sin \frac{n\pi}{b} y$$

$$S_{xu} = \sum_m \sum_n T_{mn} \cos \frac{m\pi}{a} x \sin \frac{n\pi}{b} S, \quad S_{su} = \sum_m \sum_n T'_{mn} \sin \frac{m\pi}{a} x \cos \frac{n\pi}{b} S$$



の形に展開すると、シェルの各点(選点)の変位、断面力は各領域の P_B , P_s , S_{xu} , S_{su} , U_B , V_B の単位の量の影響係数は Navier の解によると簡単に計算できる。とれます

シェルの基本解(近似解)として、基礎式はおいて前述の U_i

$$V_i \text{ を考慮すると, } \Delta \Delta w = \frac{P}{K} - \frac{1}{rh} \phi'', \quad \Delta \Delta \phi_i = T_S + \frac{Eh}{rh} w'' \quad \dots \dots \dots (6)$$

ここで、法線方向の荷重 P のみを考えると上述の影響係数を用いて選点 i における解を得る。

$$w_i = \frac{1}{K} C_{it} P_t - \frac{1}{Kr} \sum_j C_{ij} (\phi'')_j, \quad \phi_j = \frac{Eh}{r} \sum_k C_{jk} (w'')_k \quad \dots \dots \dots (7)$$

$$\text{式(7)を微分して } \phi_j \text{ を消去すると } (w'')_i + \frac{Eh}{Kr^2} \sum_j \sum_k C_{ij}'' C_{jk}'' (w'')_k = \frac{1}{K} C_{it} P_t \quad \dots \dots \dots (8)$$

同様に接線方向の荷重 S のみを考えると式(8)の右辺は

$$- \frac{1}{Kr^2} \sum_j C_{ij}'' (C_{jk}'' S_k)$$

式(8)は各有限領域の選点 i に 1 自由度の未知量 $(w'')_i$ を持つ連立方程式で $(w'')_i$ が求まれば、式(7)にFリ中、さらに w'' が求まる。このようになつて有限領域の部分荷重 P_t , S_t によるすべての諸量が定まる。一方、式(3), (4)の力学的問題 U_{2ab} , V_{2ab} も P_t と類似の性格を持つことに留意すれば、すこしリフの平板の問題を手に取ると、上述の基本解を用いてこからを繰り返し計算によって追跡し、同時にリフをシェルとを連続法によつて適合させ、両者の間で受け渡さる不静止力 P_t , S_{xu} , S_{su} を逐次定めることになる。

1) 図材：薄肉シェル、および平板の弾塑性解析に併用の1数値解法(東京都市大学構造論会, S.49)